

Магнитные свойства магнитной жидкости

Механико-математический факультет МГУ
Кафедра гидромеханики

2010 г.

Цель работы

Экспериментально определить начальную магнитную восприимчивость магнитной жидкости.

Введение

Магнитная жидкость представляет собой коллоидный раствор частиц ферромагнетика (как правило, это Fe , Co , Ni , Fe_3O_4) в немагнитной жидкости. В жидкости-носителе (например, керосин) при помощи химических реакций выращивают кристаллы ферромагнетика до размеров крупных полимерных молекул (диаметр частицы $\sim 100 \text{ \AA}$ или 10^{-6} см). Частицы покрыты оболочкой из поверхностно-активного вещества, которая препятствует слипанию частиц ферромагнетика в жидкости и дальнейшему выпадению их в осадок. ПАВ (поверхностно активное вещество) - это вещество, которое "садится" на поверхность раздела двух сред и не дает частицам слипаться. Большая устойчивость раствора к расслоению обеспечивается тепловым броуновским движением. Типичным примером магнитной жидкости является жидкость на керосине, содержащее частицы магнетита, окруженные молекулами олеиновой кислоты (рис. 1, а).

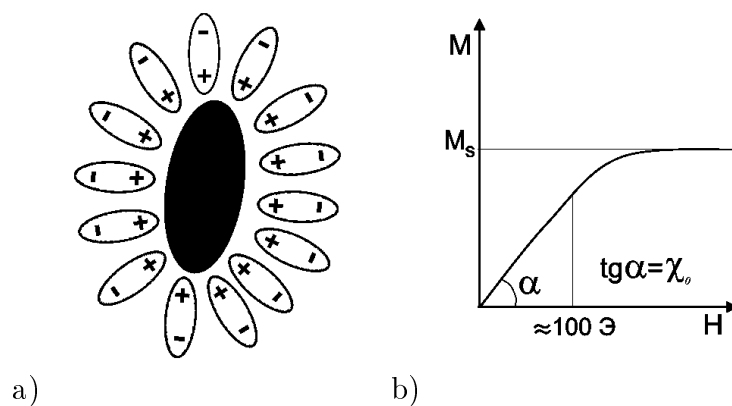


Рис. 1: а) Ферромагнитная частица, окруженная молекулами поверхностно активного вещества. б) Зависимость намагниченности магнитной жидкости от напряженности магнитного поля.

Магнитная жидкость является суперпарамагнетиком. Каждая i -ая частица представляет собой анизотропное тело с упорядоченными микротоками, которое имеет магнитный момент \mathbf{m}_i , $|\mathbf{m}_i| = m$ (как стрелка компаса). При отсутствии внешнего магнитного поля ферромагнитные частицы ориентированы случайно и намагниченность жидкости равна нулю, $\mathbf{M} = \sum_i \mathbf{m}_i = 0$. В присутствии внешнего магнитного поля происходит намагничивание жидкости, $\mathbf{M} = \sum_i \mathbf{m}_i \neq 0$. Если внешнее магнитное поле

достаточно сильное, то все частицы ориентируются по полю, и намагниченность магнитной жидкости достигает насыщения (максимального значения) $M = M_s = N|m_i|$, здесь M_s – намагниченность насыщения, N – число частиц в единице объема магнитной жидкости. В изотропной магнитной жидкости в равновесии намагниченность связана с напряженностью магнитного поля следующим образом: $\mathbf{M} = \chi\mathbf{H}$, где χ – коэффициент магнитной восприимчивости. Магнитная восприимчивость – скалярная функция, зависящая от физико-химических и термодинамических параметров среды, $\chi = \chi(T, n, H, \dots)$. Например, при возрастании температуры T из-за увеличения средней скорости частиц броуновского движения χ уменьшается, а при увеличении концентрации ферромагнитных частиц n – χ возрастает.

Если предположить, что магнитная восприимчивость χ магнитной жидкости не зависит от модуля напряженности магнитного поля H , то величина намагниченности M бесконечно возрастает при бесконечном увеличении магнитного поля. Но в эксперименте этого не происходит, так как намагниченность достигает насыщения M_s . Следовательно, $\chi = \chi(H, T, n, \dots)$.

Зависимость величины намагниченности магнитной жидкости от напряженности магнитного поля при постоянной температуре и концентрации приведена на рис. 1, б. При малых полях M линейно зависит от H , $M = \chi_0 H$ (т.е. χ_0 не зависит от H). Такая зависимость реализуется для полей ≤ 100 Э (Эрстед - единица напряженности магнитного поля в симметричной системе единиц Гаусса, $1 \text{ Э} = 10^3/4\pi \text{ А/м}$). Параметр χ_0 называется начальной магнитной восприимчивостью.

Цель работы – экспериментально определить значение начальной магнитной восприимчивости магнитной жидкости χ_0 при малых стационарных магнитных полях.

Применения магнитной жидкости

Магнитные жидкости часто используют в качестве смазки или уплотнителя, герметизирующего зазор между валом и неподвижным корпусом. Такая смазка, удерживаемая в зазоре неоднородным полем постоянных магнитов, может выдерживать перепад давления до 10 Атм.

Магнитную жидкость можно создать на основе безвредных для организма жидкостей и лекарств. Такую магнитную жидкость можно выпить и, удерживая её полем медицинского магнита, лечить таким образом заболевания желудочно-кишечного тракта (например, язвенную болезнь). Также ведутся разработки магнитоуправляемых лекарств, которые вводятся в кровь, что позволит уменьшить дозировку лекарств и более эффективно лечить заболевания (например, опухоли).

В присутствии магнитного поля на тела в магнитной жидкости действует магнитная сила направленная в сторону меньшего магнитного поля. Например, если градиент магнитного поля направлен вниз, то на тела действует дополнительная выталкивающая сила. Этот эффект используется в магнитожидкостных сепараторах. Сверху на большую каплю магнитной жидкости, висящей между полюсами электромагнитов, насыпают руду. Неоднородное поле магнитов подобрано таким образом, что более легкие фракции всплывают (например медь), а более тяжелые тонут (например, золото).

Также магнитные жидкости используют для создания клапанов, магнитных чернил, демпферов, уровней и других технических устройств.

Описание эксперимента

В магнитное поле, создаваемое двумя параллельными катушками Гельмгольца (эта система создает на оси катушек однородное вертикальное поле H_B порядка 84,41 Э при токе 0,25 А) и малой катушкой (эта катушка создает на оси неоднородное вертикальное магнитное поле H_S), помещается пробирка с немагнитной жидкостью, в которой находится капля магнитной жидкости (см. схему на рис. 2 на стр. 3). В суммарном магнитном поле $H = H_B + H_S$ капля магнитной жидкости деформируется и занимает положение равновесия. Полагая форму капли эллипсоидом вращения, а магнитные поля малыми ($H < 100$ Э), по положению капли и ее удлинению надо найти коэффициент магнитной восприимчивости магнитной жидкости.

Положение и форма капли (т.е. длина l и толщина капли d , расстояние ее до малой катушки l_A) определяются по распечатке изображения, которое регистрируется с микроскопа с помощью видеокамеры. Тарировка регистрирующей системы осуществляется с помощью контрольного измерения диаметра проволоки D на распечатке изображения, которое регистрируется аналогично, и измерения диаметра проволоки по шкале микрометра (см. пример, показанный на рис. 3 на стр. 4)

Токи, текущие в катушках, измеряются при помощи двух амперметров: один амперметр измеряет ток в больших катушках J_B [А], а другой – в маленькой катушке J_S [А]. Зная эти токи, распределение невозмущенного внешнего поля можно вычислить как сумму двух полей, одно из которых H_B создается большими катушками, а другое H_S создается малой катушкой. Поле H_B постоянно в каждой точке вдоль оси катушек и определяется формулой $H_B = J_B \cdot 84,41/0,25$ Э. Поле H_S переменное в пространстве определяется при помощи таблицы 2 из зависимости отношения H_S/J_S [Э/А] от расстояния до катушки.

Магнитная восприимчивость магнитной жидкости может быть вычислена с использованием измеряемых в эксперименте величин и теоретических формул, описывающих равновесие магнитной капли.

Схема эксперимента представлена на рис. 2. В трубку, заполненную немагнитной жидкостью, помещается капля магнитной жидкости. Внешнее магнитное поле создается двумя катушками Гельмгольца (а) и малой катушкой (б). Катушки Гельмгольца дают приблизительно однородное поле порядка 84,41 Э при токе 0,25 А ($1 \text{ Э}^2 = 1 \text{ г/см}\cdot\text{сек}^2$).

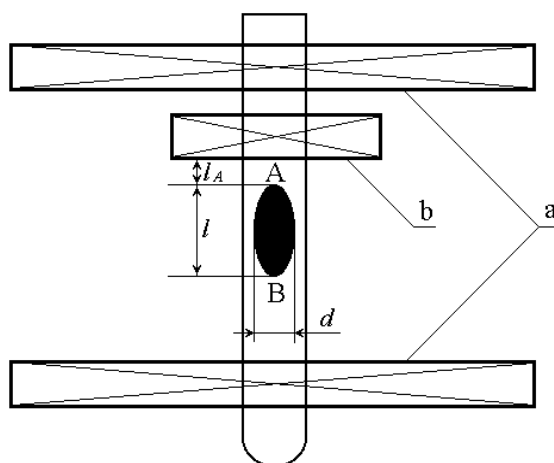


Рис. 2: Схема установки.

Положение и форма капли (т.е. длина l и толщина d капли, расстояние от нее до малой катушки l_A) определяются по распечатке изображения, которое регистрируется с микроскопа с помощью видеокамеры (см. пример, показанный на рис. 3). Проведенные

измерения тарируются при помощи определения диаметра D тонкой проволоки по распечатке ее изображения и по измерению его микрометром. На приведенных примерах схематично показаны все необходимые измерения.

(Примечание: регулировки микроскопа, установленные при регистрации капли магнитной жидкости не должны быть изменены!)

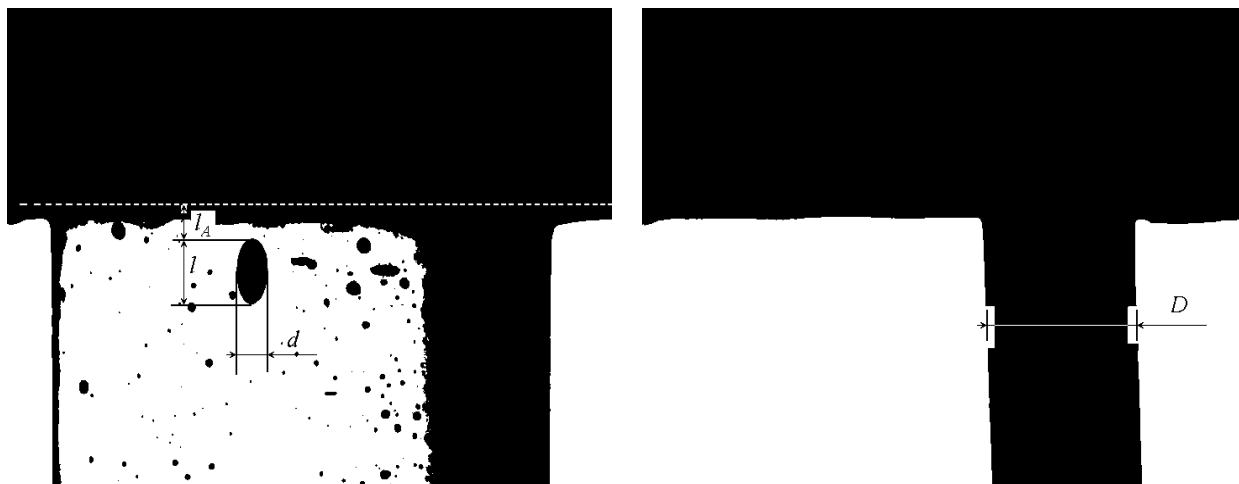


Рис. 3: Пример получаемых изображений капли магнитной жидкости и проволоки.

Ток в катушках измеряется амперметрами (если амперметры стрелочные, то фиксируется его показание (число делений) и цена деления шкалы прибора). Цена деления цифровых амперметров может быть 1 А или 1 мА. Все снятые показания записываются в таблицу 1.

Таблица 1

Параметр	Ток $J_{BВ}$ катушках (а)	Ток J_S в катушке (b)	l	d	l_A	d_w
Число делений						
Цена деления						
Величина						

В проводимом эксперименте значения плотностей известны: $\rho_1 = 1 \text{ г/см}^3$ при использовании воды или $\rho_1 = 1,26 \text{ г/см}^3$ при использовании глицерина ($\rho_1 = 1,146 \text{ г/см}^3$ при использовании 50% раствора глицерина в воде), и плотность магнитной жидкости $\rho_2 = 1,66 \text{ г/см}^3$.

По значениям из таблицы 2 определяется величина поля H_S из зависимости отношения $H_S/J_S [\text{Э/А}]$ от расстояния до катушки.

Малая катушка.

Таблица 2

$H_S/J_S [\text{Э/А}]$	132,1	129,98	124,4	120,9	116,5	112,0	107,1	100,5	95,0
$z [\text{мм}]$	0,31	0,63	0,94	1,25	1,56	1,88	2,19	2,5	2,81

Поле H_B постоянно в каждой точке вдоль оси катушек и определяется формулой $H_B = J_B \cdot 84,41/0,25 \text{ Э}$. Суммарное магнитное поле H определяется в каждой точке пространства формулой: $H = H_B + H_S$.

Теоретическое описание явления

Магнитное поле в намагничивающейся сплошной среде определяется напряженностью поля \mathbf{H} и индукцией поля $\mathbf{B} = \mathbf{H} + 4\pi\mathbf{M}$, связанных в гауссовой системе единиц измерения, соотношением

$$\mathbf{B} = \mu\mathbf{H}, \quad \mu = 1 + 4\pi\chi. \quad (1)$$

Здесь коэффициент μ называется коэффициентом магнитной проницаемости среды. Величина намагниченности в магнитной жидкости определяется формулой:

$$\mathbf{M} = \frac{1}{4\pi}(\mathbf{B} - \mathbf{H}) = \chi\mathbf{H}. \quad (2)$$

При небольших магнитных полях ($H < 100$ Э) магнитную восприимчивость $\chi = \chi_0$ можно считать не зависящей от величины магнитного поля H . Это означает, что в настоящем эксперименте (в котором температура и концентрация частиц в магнитной жидкости постоянны) магнитная восприимчивость и магнитная проницаемость μ являются однородными в пространстве.

Магнитное поле вне проводников описывается системой уравнений Максвелла в приближении феррогидродинамики, т.е. в отсутствии токов и электрических полей. В этом приближении два уравнения Максвелла имеют вид:

$$\operatorname{rot}\mathbf{H} = \frac{4\pi}{c}\mathbf{j} + \frac{1}{c}\frac{\partial\mathbf{D}}{\partial t} \approx 0, \quad \operatorname{div}\mathbf{B} = 0, \quad \mathbf{B} = \mu\mathbf{H}. \quad (3)$$

При этом вектор магнитной индукции \mathbf{B} является соленоидальным (линии тока замкнуты или уходят на бесконечность), а вектор напряженности магнитного поля \mathbf{H} является безвихревым или потенциальным $\mathbf{H} = \nabla\varphi$. В интегральном виде уравнения Максвелла запишутся следующим образом:

$$\oint_S B_n dS = 0, \quad \oint_L \mathbf{H} dl = 0. \quad (4)$$

Здесь L, S — произвольные замкнутые контур и поверхность.

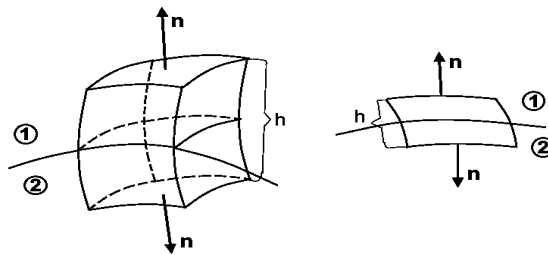


Рис. 4: Определение соотношений для магнитного поля на поверхности разрыва.

Из интегральных соотношений (4) следуют граничные условия для магнитного поля на поверхности раздела двух сред ((1) — немагнитная жидкость, (2) — магнитная жидкость). Если рассмотреть замкнутый объем (замкнутую кривую), см рис. 4, содержащий поверхность разрыва, и устремить толщину h к нулю, то получим следующие соотношения ($[A]_1^2 = A_2 - A_1$):

$$[B_n]_2^1 = 0, \quad [H_\tau]_2^1 = 0. \quad (5)$$

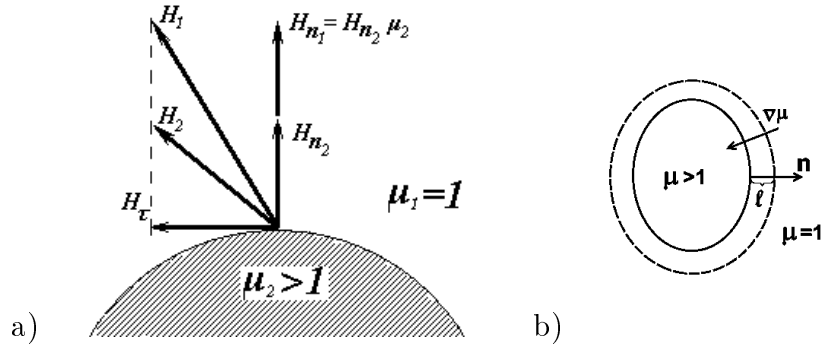


Рис. 5: а) Изменение напряженности магнитного поля на поверхности капли магнитной жидкости. б) К вычислению магнитной силы на поверхности капли магнитной жидкости.

Заметим, что из первого равенства (5) следует, что $[\mu H_n]_2^1 = 0$. Так как магнитная проницаемость терпит разрыв на поверхности раздела немагнитная жидкость – магнитная жидкость $[\mu]_2^1 \neq 0$, из равенства следует, что поверхность магнитной жидкости искажает приложенное поле, $[H_n]_2^1 \neq 0$, (см. рис. 5 а)

Так как магнитное поле потенциально, то можно ввести скалярную функцию ϕ , такую что: $\mathbf{H} = \nabla\phi$. Тогда уравнения Максвелла и условия на поверхности раздела сред будут иметь вид:

$$\Delta\phi = 0, \quad (6)$$

$$[\phi]_2^1 = 0, \quad [\mu\nabla_n\phi]_2^1 = 0. \quad (7)$$

Первое равенство в (7) вытекает из второго условия в (5) и односвязности границы капли. Будем считать, что в бесконечно удаленной точке искажение поля каплей магнитной жидкости пренебрежимо мало, и магнитное поле направленно вертикально: $\mathbf{H} |_{\infty} \rightarrow \mathbf{H}_0$, или в терминах потенциала:

$$\nabla\phi |_{\infty} \rightarrow \mathbf{H}_0. \quad (8)$$

Здесь H_0 – магнитное поле, не возмущенное каплей и определяемое в эксперименте. Уравнение равновесия для магнитной жидкости и окружающей жидкости имеет вид:

$$\nabla p_\alpha - \rho_\alpha \mathbf{g} - \mathbf{f}_{\alpha m} = 0 \quad \alpha = 1, 2. \quad (9)$$

Магнитная сила $\mathbf{f}_{\alpha m}$ определяется слагаемыми в тензоре напряжений p_{ij} , связанными с компонентами магнитного поля. Тензор напряжений в любой жидкости в магнитном поле имеет вид:

$$p_{ij} = -p\delta_{ij} + \frac{H_i B_j}{4\pi} - \frac{H B}{8\pi} \delta_{ij} = -p\delta_{ij} + T_{ij}^H. \quad (10)$$

Если посчитать силу, задаваемую тензором максвеловских натяжений T_{ij}^H для проводящих сред с учетом уравнений Максвелла, то получится сила Лоренца: $\mathbf{F} = [\mathbf{j} \times \mathbf{B}]/c$. Для электрических полей (если заменить \mathbf{H} на \mathbf{E} , а \mathbf{B} на \mathbf{D}), взяв дивергенцию тензора T_{ij} , получим силу Кулона $q\mathbf{E}$. С учетом уравнений Максвелла в приближении феррогидродинамики получим силу, связанную с намагниченностью среды:

$$\mathbf{f}_m = \nabla^j T_{ij}^H \mathbf{e}^i = -\frac{H^2}{8\pi} \nabla\mu. \quad (11)$$

В рассматриваемом нами случае магнитная проницаемость магнитной жидкости и окружающей среды постоянны, поэтому объемная магнитная сила $\mathbf{f}_{\alpha m}$ равна нулю. При этом уравнение (9) можно легко проинтегрировать:

$$p_\alpha = p_{\alpha 0} + \rho_\alpha \mathbf{g} \mathbf{r} \quad \alpha = 1, 2. \quad (12)$$

Объемные магнитные силы равны нулю, но поверхностная магнитная сила, действующая на поверхности раздела двух сред, не равна нулю. Представим границу раздела двух сред, как некоторый слой конечной величины l (см. рис. 5 б), поперек которого (перпендикулярно к исходной границе раздела) непрерывным образом меняются все параметры (плотность, магнитная проницаемость и др.). При этом в каждой точке слоя в магнитном поле действует объемная магнитная сила, направленная против градиента μ . Несмотря на малость толщины слоя, поверхностная плотность силы \mathbf{F}_{sm} является конечной величиной:

$$\mathbf{F}_{sm} = \lim_{l \rightarrow 0} \int_0^l -\frac{H^2}{8\pi} \nabla \mu \mathbf{n} dx = \lim_{l \rightarrow 0} \int_0^l -\frac{H^2}{8\pi} \left(-\frac{\Delta \mu}{l} \mathbf{n} \right) dx = \frac{H_m^2}{8\pi} \Delta \mu \mathbf{n} .$$

Здесь H_m — некоторое значение магнитного поля в рассматриваемом слое, $\Delta \mu = \mu_2 - \mu_1 > 0$.

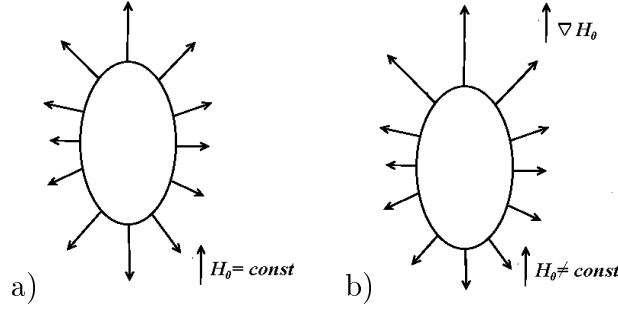


Рис. 6: Распределение поверхностной магнитной силы F_{Sm} , действующая на поверхность капли магнитной жидкости в однородном (а) и неоднородном (б) приложенном магнитном поле.

Заметим, если приложенное магнитное поле H_0 однородно, то суммарная магнитная сила, действующая на каплю, $\mathbf{F}_M = \oint_{S_d} \mathbf{F}_{sm} dS$ (S_d — поверхность капли) из-за симметрии равна нулю (см. рис 6 а). Когда приложенное магнитное поле неоднородно, $H_0 \neq const$, магнитная сила пропорциональна градиенту поля $\mathbf{F}_M \sim (\nabla H)_0$. В целом на каплю магнитной жидкости со стороны окружающей жидкости действует сила $\mathbf{F} = \oint_{S_p} p_{ij} n^j \mathbf{e}^i dS = \mathbf{F}_A + \mathbf{F}_M$. Здесь $\mathbf{F}_A = -\rho_1 V \mathbf{h} \mathbf{g}$ — сила Архимеда, $\mathbf{F}_M = \oint_{S_p} T_{ij}^H n^j \mathbf{e}^i dS$ — суммарная магнитная сила. Условие равновесия капли имеет вид

$$\mathbf{F}_A + \mathbf{F}_T + \mathbf{F}_M = 0. \quad (13)$$

Здесь F_T — сила тяжести, $F_T = \rho_2 g V$.

Поверхность капли магнитной жидкости в данной случае является контактным разрывом, так как задача статическая и не происходит обмена массой между жидкостями. При этом динамическое граничное условие, полученное из закона сохранения импульса, имеет вид:

$$[p_{ij} n^j \mathbf{e}^i]_2^1 = \pm 2\sigma K \mathbf{n}, \quad z = f(r), \quad r = \sqrt{x^2 + y^2}, \quad K = \frac{f'' + f'^3/r + f'/r}{2(1 + f'^2)^{3/2}}. \quad (14)$$

Здесь σ — коэффициент поверхностного натяжения, K — средняя кривизна поверхности, знак "+" соответствует случаю, когда магнитная жидкость расположена ниже немагнитной, "-" — в противном случае. Спроектировав это уравнение на внешнюю нормаль к поверхности капли, с учетом граничных условий для магнитного поля, получим соотношение для определения формы поверхности капли:

$$[p]_2^1 = 2\sigma K + \frac{1}{8\pi} [B_n H_n - \mathbf{B}_\tau \mathbf{H}_\tau]_2^1. \quad (15)$$

Здесь \mathbf{H}_τ – касательная составляющая напряженности магнитного поля, H_n – нормальная составляющая магнитного поля. Это уравнение служит для определения формы капли $f(\mathbf{r})$. Оно является нелинейным дифференциальным уравнением второго порядка.

Таким образом, необходимо решить уравнение Лапласа (6) с учетом граничных условий для потенциала магнитного поля (7), (8) и динамического граничного условия (15), в котором использован первый интеграл уравнения движения.

С помощью теории потенциала решение уравнения Лапласа можно выразить через плотность простого слоя, связанного со скачком $\nabla_n \phi$, и из условий на разрыве для $\nabla_n \phi$ и p (7), (15) составить систему интегро-дифференциальных уравнений, определяющих форму поверхности разрыва и величину скачка магнитного поля.

Аналитическое решение этих уравнений можно получить только при определенных предположениях:

- 1) форма капли – эллипсоид вращения;
- 2) размер капли много меньше характерного размера изменения магнитного поля.

В этом приближении решение задачи сводится к расчету магнитного поля намагниченного эллипсоида, помещенного во внешнее поле с постоянным градиентом, согласно уравнениям (6) и (7).

Последнее из условий на разрыве (15) не может быть удовлетворено точно в каждой точке поверхности эллипсоида. Однако, подбирая параметры, характеризующие форму и положение центра эллипсоида, можно добиться удовлетворения условия (15) в интегральном смысле, осредняя его по поверхности эллипсоида. Решение позволяет получить аналитическое выражение для магнитной силы F_M . Равенство (13) при этом запишется в виде

$$\begin{aligned}
 |F_A + F_g| &= Vg(\rho_2 - \rho_1) = \frac{V\chi_0(H_{0A}^2 - H_{0B}^2)}{2l(1 + 4\pi\chi_0N)} = |F_M|, \\
 4\sigma &= \pi l(H_{0A} + H_{0B})^2 \frac{Q\chi_0^2}{(1 + 4\pi\chi_0N)^2}, \\
 N &= (\lambda^2 - 1) \left(\frac{\lambda}{2} \ln \frac{\lambda + 1}{\lambda - 1} - 1 \right), \quad \lambda = \frac{l}{\sqrt{l^2 - d^2}}, \\
 Q &= \frac{(\lambda^2 - 1) \left[\lambda(3\lambda^2 - 1) \ln \frac{\lambda + 1}{\lambda - 1} - 6\lambda^2 \right]}{3\lambda^2 - 2 + \frac{\lambda^2(4 - 3\lambda^2)}{\sqrt{\lambda^2 - 1}} \arcsin \frac{1}{\lambda}},
 \end{aligned} \tag{16}$$

Здесь H_{0A}, H_{0B} – значения невозмущенного каплей магнитного поля в точках A и B (см. рис. 2), l – длина капли, d – ее диаметр.

В таблице 3 приведены значения параметров N и Q от отношения d/l , характеризующего форму эллипсоида.

Таблица 3

d/l	1	0,9	0,8	0,7	0,6	0,5	0,4	0,3	0,2	0,1
N	1/3	0,306	0,276	0,244	0,210	0,174	0,135	0,095	0,056	0,020
Q	∞	2,192	0,940	0,488	0,311	0,187	0,107	0,054	0,021	0,004

Определяя экспериментально магнитное поле и положение точек A, B и диаметр капли, из формулы (16) можно определить коэффициенты магнитной восприимчивости χ_0 и поверхностного натяжения σ , если известны плотности ρ_1, ρ_2 .

В случае неизвестной плотности магнитной жидкости следует провести эксперимент, погружая каплю этой жидкости в две различные немагнитные жидкости с известными плотностями. При этом получим систему алгебраических уравнений для определения $\rho_2, \chi, \sigma_1, \sigma_2$.

Задание к лабораторной работе

1. Доказать равенство (с учетом уравнений Максвелла в приближении феррогидродинамики):

$$\mathbf{f}_m = \nabla^j T_{ij}^H \mathbf{e}^i = -\frac{H^2}{8\pi} \nabla \mu$$

2. Вычислить скачок потока импульса, связанного с тензором максвелловских натяжений T_{ij}^H , с учетом соотношений на разрыве для магнитного поля (проекции скачка на нормаль и касательную к поверхности контактного разрыва):

$$[T_{ij}^H n^j \mathbf{e}^i] = ?$$

3. Определить χ_0 и σ и указать их размерность.